

# Measurement and Control

## Seminario de Robótica

Jorge Sofrony

Universidad Nacional de Colombia

Julio de 2009

- 1 Introduccion
- 2 Control Independiente de Eslabones
- 3 Control Multivariable y Dinámica Inversa
- 4 Ejemplo

# Control de Robots

- Control de robots: Determinar el historial de entradas en cada eslabón de tal forma que el efector final realice una tarea determinada con el desempeño requerido
- Las entradas pueden ser, entre otros
  - fuerzas
  - voltajes
  - corrientes
  - torques
- Las tareas a realizar pueden estar dadas como una secuencia de posiciones/orientaciones o como un camino continuo

# Control de Robots

- Las características de los distintos tipos de controladores pueden variar dependiendo de
  - Tipo de tarea (punto-a-punto, trayectorias)
  - Arquitectura mecánica (cartesiana, tipo codo)
  - Desempeño (rapidez, precisión, rango de operación)
- Esta sección se dividirá en estrategias de control de una-entrada-una-salida (SISO) y estrategias de control multivariable (MIMO)

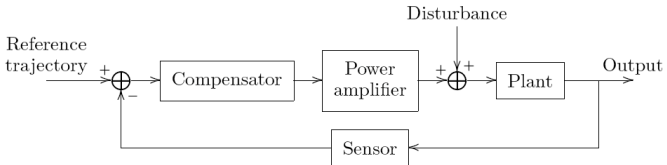
# Control de Robots

- Comenzaremos por dar una serie de definiciones y notacion estandar utilizada a lo largo de esta seccion
- Se continuara exponiendo las características del control SISO y control independiente de eslabones
- Continuaremos exponiendo algunas técnicas multivariables de control, i.e. control de ganancia variable, SMC y control adaptativo.
- La seccion finalizara con un ejemplo de diseño

- 1 Introduccion
- 2 Control Independiente de Eslabones
- 3 Control Multivariable y Dinámica Inversa
- 4 Ejemplo

# Control Independiente de Eslabones

- Consideremos inicialmente el problema de control mas sencillo, i.e. control independiente de eslabones
  - Cada eje es tratado como SISO
  - El acoplamiento entre eslabones es tomado como una perturbación
- La estructura básica de control se muestra a continuación



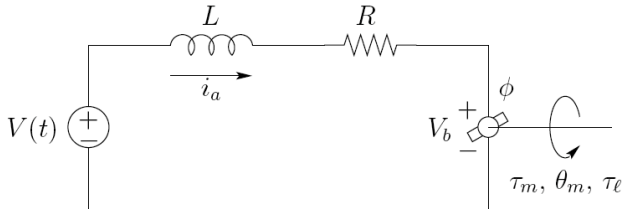
# Control Independiente de Eslabones

- El problema de control se puede caracterizar por dos grandes objetivos
  - seguimiento de referencia
  - rechazo perturbaciones
- La idea general es controlar *unicamente* el actuador (neumatico, electromecanico) relacionado con la poscion de una de las articulaciones
- Aunque existen varios tipos de motores (Paso-a-Paso, AC, sin escobillas entre otros), unicamente estudiaremos el control de servomotores D.C.



# Control Independiente de Eslabones

- A continuación se muestra una figura con el esquema electromecánico de un motor D.C. de imán permanente en el estator



# Control Independiente de Eslabones

- De esta forma se pueden plantear las ecuaciones (eléctrica y mecánica) de la siguiente manera

$$\begin{aligned} V &= R_a i_a + \frac{d(i_a)}{dt} L_a + V_b \\ \tau_m &= J_m \ddot{\theta} + B \dot{\theta} + \tau_l \end{aligned}$$

donde  $V$  es el voltaje de alimentación al motor,  $V_b$  es el voltaje contra-electromotriz,  $J_m$  es la inercia del rotor del motor,  $B$  es el coeficiente de fricción viscosa del motor y  $\tau_l$  es el un torque (variable) de carga externa.

# Control Independiente de Eslabones

- El modelo dinámico del sistema está dado por

$$\frac{\theta_m}{v} = \frac{K_m}{s[(LS + R)(J_m s + B_m) + K_b K_m]}$$

donde se hace uso de las ecuaciones de transducción

- $\tau_m = K_m i_a$
- $V_b = K_b \dot{\theta}$
- Las constantes  $K_m$  y  $K_b$  son intrínsecas al motor
- Si estas están dadas en unidades SI, tenemos  $K_m = K_b$

# Control Independiente de Eslabones

- Podemos suponer en general que la constante eléctrica es mucho más rápida que la mecánica, por lo que podemos despreciar el efecto de la inductancia  $L$
- De esta manera podemos reducir el modelo dinámico a una expresión de la forma

$$\frac{\theta_m}{v} \approx \frac{K_m/R}{s[J_ms + (B_m + K_b K_m/R)]} = \frac{K_r}{s[J_rs + B_r]}$$

- Este modelo reducido facilita el análisis de estabilidad y vuelve el proceso de diseño un poco más intuitivo

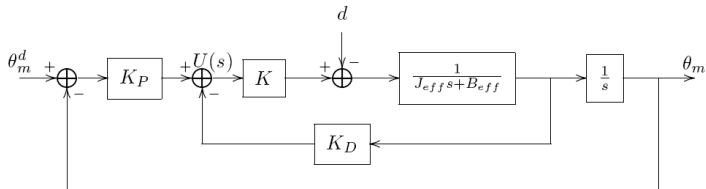
# Control Independiente de Eslabones

- Seguimiento de “Punto Fijo”: Se asume que la referencia es constante (set-point tracking), por lo que para un manipulador de  $n$ -articulaciones se tiene que  $r_i = (q_i^d, \dot{q}_i^d)$ ,  $i = [1, 2, \dots, n]$ , donde  $q_i^d$  es un valor constante, y  $\dot{q}_i^d = 0$
- El problema de seguimiento de referencia constante es común para aplicaciones de seguimiento punto-a-punto o CN
- Este esquema de control es utilizada en aplicaciones con bajos tiempos de respuesta y grandes relaciones de reducción

# Control de Referencia Fija

- Comenzaremos con un compensador **PD** donde la señal de control corresponde a

$$u(t) = K_p(\theta^d - \theta) - K_d\dot{\theta}$$



# Control de Referencia Fija

- Defina  $\Omega_1(s) = J_r s^2 + (B_r + K_r K_d)s + K_r K_p$  tal que

$$E(s) = \frac{J_r s^2 + (B_r + K_r K_d)s \theta_d}{\Omega_1(s)} + \frac{1}{\Omega_1(s)} D(s)$$

- Por el teorema del valor final

$$e_{ss} = \lim_{s \rightarrow 0} sE(s) = \frac{D}{K_r K_p}$$

- Como la magnitud del torque de carga es inversamente proporcional a la reducción utilizada, el error puede hacerse cercano a cero con grandes reducciones y un  $K_p$  grande.

# Control de Referencia Fija

- Para el sistema resultante de segundo orden tenemos que los polos del sistema están determinados por

$$s^2 + \frac{B + K_r K_d}{J_r} s + \frac{K_r K_p}{J_r} = s^2 + 2\zeta\omega_n s + \omega_n^2$$

- De esta manera podemos diseñar de manera intuitiva nuestro controlador PD
- Usualmente  $\zeta = 1$  (Críticamente amortiguado) y la frecuencia natural  $\omega_n$  se escoge relativamente alta para una buena velocidad de respuesta.



# Control de Referencia Fija

- Ejemplo: Para un sistema descrito por

$$G = \frac{1}{s(s+1)} \quad , \quad \zeta = 1$$

tenemos  $K_p = \frac{\omega_n J_r}{K_r}$ ,  $K_d = \frac{2\omega_n \zeta J_r - B_r}{K_r}$ . La siguiente tabla muestra los parámetros para distintos valores de  $\omega_n$

$\omega_n$	$K_p$	$K_d$
4	16	7
8	64	15
12	144	23

IMAGEN DE SIMULACION

# Control de Referencia Fija

- Como vimos anteriormente, el controlador PD exhibe error de estado estable debido a perturbaciones
- Podemos hacer este error cero si utilizamos un controlador **PID**, i.e. agregamos un integrador en el lazo directo tal que

$$u(s) = (K_p + \frac{K_i}{s})(\theta^d - \theta) - K_d s\theta$$

# Control de Referencia Fija

- Esta nueva ley de control produce un sistema en lazo cerrado de la forma

$$\theta(s) = K_r \frac{K_d s^2 K_p s + K_i}{\Omega_2(s)} \theta^d(s) - \frac{s}{\Omega_2(s)} D(s)$$

donde  $\Omega_2(s) = J_r s^3 + (B_r + K_r K_d) s^2 + K_r K_p s + K_r K_i$

- Aplicando el criterio de estabilidad de Routh-Hurwitz concluimos que para garantizar estabilidad

$$K_i < \frac{(B_r + K_r K_d) K_p}{J_r}$$

- Es fácil darse cuenta que  $e_{ss} = 0$

# Control de Referencia Fija

- Es difícil escoger  $K_p$ ,  $K_d$ ,  $K_i$ , pero se puede dividir en:
  - $K_d$ : Tipo de respuesta
  - $K_i$ :  $e_{ss} = 0$
- Restricciones: Tenemos varios fenómenos que pueden restringir el desempeño del controlador.
  - Saturación de voltaje de alimentación, de torque, de corriente
  - Flexibilidad en los acoples, lo cual limita el ancho de banda del sistema de control

# Control de Referencia Fija

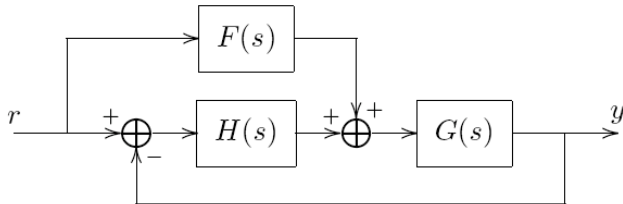
- Ejemplo: MOTOR SATURACION !!!!!

# Control de Lazo Directo

- El control realimentado PD/PID asume que la referencia es estática, i.e.  $\dot{q}^d = 0$
- Esto no se puede asumir como cierto en el caso de tareas de seguimientos de trayectorias, donde  $\dot{q}^d \neq 0$
- Adicionalmente, el método de control con lazo directo (feed-forward) puede reducir el efecto de perturbaciones variantes en el tiempo
- Durante este desarrollo asumiremos que la referencia es una señal arbitraria pero acotada

# Control de Lazo Directo

- Considere el esquema de la figura



donde  $\theta_d$  es una señal arbitraria,  $G(s)$  es la planta (estrictamente propia) y  $H(s)$  es el controlador (propio)

# Control de Lazo Directo

- $F(s)$  es el filtro de lazo directo, el cual se superpone a la señal de control  $u(s)$
- Puede ser fácilmente verificado que para una perturbación  $D(s)$

$$E(s) = \frac{qd}{pd + qc} D(s)$$

donde

$$G = \frac{q}{p}, \quad H = \frac{c}{d}, \quad F = \frac{a}{b}$$

- De aquí obtenemos el sistema en lazo cerrado

$$T = \frac{q[cb + ad]}{b[pd + qc]}$$



# Control de Lazo Directo

- Para garantizar estabilidad, necesitamos que  $b \in \mathbb{R}H^\infty$  y  $[pd + qc] \in \mathbb{R}H^\infty$
- Si escogemos  $F(s) = \frac{1}{G(s)}$ , i.e.  $a = p$  y  $b = q$ ,  $T(s) = \mathbf{I}$  y por lo tanto el error de estado estable será cero.
- Es importante anotar que podemos escoger  $F = \frac{1}{G(s)}$  solo si  $G$  es de fase mínima y estrictamente propio

# Control de Lazo Directo

- Asuma que  $G = \frac{K_r}{J_r s^2 + B_r s}$  y  $H = K_p + K_d s$ , donde podemos escoger nuestro filtro de lazo directo como  $F = J_r s^2 + B_r s$
- Cabe anotar que  $F(s)$  no es propia, por lo cual la derivada directa de la entrada no es viable
- Sin embargo, podemos asumir que  $(\dot{q}^d, \ddot{q}^d)$  son pre-calculados
- Es fácil darse cuenta que el error de estado estable ante la presencia de perturbaciones tipo escalón está dado por la ecuación  $-D/K_p$

# Control de Lazo Directo

- Para este esquema de control

$$V = \frac{J_r}{K_r} \ddot{\theta}^d + \frac{B_r}{K_r} \dot{\theta}^d + K_d \dot{e} + K_p e$$

- Podemos expresar el sistema en términos del error de la siguiente manera

$$J_r \ddot{e} + (B_r + K_r K_d) \dot{e} + K_r K_p e = d$$

- Podemos concluir que el error tiende a cero si no hay perturbaciones, i.e.  $d(t) = 0$

# Diseño en Espacio de Estados

- Los contradores *PD/PID* pueden ser adecuados para aplicaciones donde la flexibilidad de los eslabones es despreciable y la saturación es leve
- Para aplicaciones con problemas mas serios, puede ser util un metodo de dise no mas flexible, i.e. realimentacion de estados
- El sistema de motor D.C. puede ser expresado en variables de estado de la forma

$$\begin{aligned}x_1 &= \theta_l & x_2 &= \dot{\theta}_l \\x_3 &= \theta_m & x_4 &= \dot{\theta}_m\end{aligned}$$

donde  $\theta_l$  es el ángulo de la carga y  $\theta_m$  es el ángulo del motor

# Diseño en Espacio de Estados

- Las ecuaciones diferenciales que describen el sistema están dadas por:

$$\dot{x}_1 = x_2$$

$$\dot{x}_2 = -\frac{K}{J_l}x_1 - \frac{B_l}{J_l}x_2 + \frac{K}{J_l}x_3$$

$$\dot{x}_3 = x_4$$

$$\dot{x}_4 = -\frac{K}{J_m}x_1 - \frac{B_l}{J_m}x_4 - \frac{K}{J_m}x_3 + \frac{1}{J_m}u$$

# Diseño en Espacio de Estados

- Describiendo el sistema en forma estándar

$$\dot{x} = Ax + Bu$$

tenemos que las matrices constantes están dadas por

$$A = \begin{bmatrix} 0 & 1 & 0 & 0 \\ -\frac{K}{J_l} & -\frac{B_l}{J_l} & \frac{K}{J_l} & 0 \\ 0 & 0 & 0 & 1 \\ \frac{K}{J_m} & 0 & -\frac{K}{J_m} & \frac{B_m}{J_m} \end{bmatrix} \quad B = \begin{bmatrix} 0 \\ 0 \\ 0 \\ \frac{1}{J_m} \end{bmatrix}$$

- Definiendo la salida como

$$y = Cx$$

podemos escoger como señal medible, cualquier estado

- Por ejemplo, si medimos  $\theta_l$ , tenemos que  $c = [1, 0, 0, 0]$

# Diseño en Espacio de Estados

- La función de transferencia se puede hallar de la siguiente manera:

$$G(s) = C(s\mathbf{I} - A)^{-1}B + D$$

- La ley de control de realimentación de estados es

$$u = -\sum_{i=1}^n k_i x_i + k_f r = -Ku + k_f r$$

- Reemplazando en nuestra representación de estado, tenemos

$$\dot{x} = (A - BK)x + Bk_f r$$

- Bajo la suposición de controlabilidad, los polos de  $(A - BK)$  pueden ser ubicados arbitrariamente

# Diseño en Espacio de Estados

- Existen varios algoritmos de ubicación de polos que permiten un diseño no ágil e intuitivo
- A continuación se presentará la técnica de diseño LQR (Regulador Lineal Cuadrático), donde nuestro objetivo no es el de ubicar polos, sino minimizar una cierta función de interés, por ejemplo

$$\mathcal{J} = \int_0^{\infty} x^T Q x + u^T R u dt$$

donde las matrices  $Q \geq 0$  and  $R > 0$  son parámetros de diseño;  $J$  se denomina la función de costo y también es positiva.



# Diseño en Espacio de Estados

- Utilizando el segundo método de Lyapunov para un candidato cuadrático de la forma  $V(x) = x^T P x$ , podemos minimizar nuestra función de costo garantizando desempeño y estabilidad
- De esta manera obtenemos

$$u = -Kx = -R^{-1}B^T P x$$

donde la matriz  $P = P^T > 0$  se obtiene de la solución de la ecuación de Riccati

$$A^T P + P A - P B R^{-1} B^T P + Q = 0$$

# Diseño en Espacio de Estados

- Observe que podemos dividir nuestros objetivos en dos
  - 1 Garantizar que  $\dot{V} < 0$  para todo  $x$
  - 2 Minimizar la función de costo  $\mathcal{J}$  para alguna señal de control  $u$
- Si se garantiza que  $\dot{V}_a(x) < 0$ , donde  $V_a(x) = V(x) + J$ , podemos observar que
  - 1  $\dot{V}(x) < 0$ , garantizando estabilidad
  - 2  $\min_{x, u=-Kx} \int_0^\infty x^T Q x + u^T R u dt \leq x^T(0) P x(0)$ , garantizando desempeño

# Diseño en Espacio de Estados

- El mayor inconveniente es que la ley de control es función de todos los estados del sistema, lo que muchas veces es altamente costoso o físicamente imposible
- Por tal motivo se recurre a los *Observadores de Estado*, de los cuales el más conocido es el *Filtro de Kalman*
- El problema de observación de estados se considera como el problema dual al de realimentación de estado.

- 1 Introduccion
- 2 Control Independiente de Eslabones
- 3 Control Multivariable y Dinámica Inversa**
- 4 Ejemplo

# Control Multivariable y Dinámica Inversa

- Ahora consideraremos técnicas de control más avanzadas de control robusto.
- Por lo general, estas técnicas son técnicas LTI y por lo tanto no son directamente aplicables
- El esquema de control de dinámica inversa nos ayuda en este respecto, ya que es un caso especial de linealización por retroalimentación (feedback linearization)

# Control Multivariable y Dinámica Inversa

- Comenzaremos por definir el control por par calculado (o dinámica inversa), haciendo una separación entre tareas en el espacio articular/trabajo
- Continuaremos definiendo la incertidumbre de linealización
- El problema de incertidumbre paramétrica será resuelto mediante técnicas de control robusto, donde se utilizarán técnicas de ganancia variable, control adaptativo y SMC

# Dinámica Inversa: Espacio Articular

- Considere el sistema dinámico que define un robot  $n$ -articulado de la siguiente manera

$$M(q)\ddot{q} + C(q, \dot{q})\dot{q} + g(q) = u$$

- El objetivo es encontrar una señal de control (posiblemente no lineal)

$$u = h(q, \dot{q}, t)$$

tal que el sistema resultante sea lineal

- En general esta no es una tarea simple, sin embargo en nuestro caso las cosas son bastante sencillas

# Dinámica Inversa: Espacio Articular

- Por inspección, es fácil darse cuenta que

$$u = M(q)a_q + C(q, \dot{q})\dot{q} + g(q) \Rightarrow \ddot{q} = a_q$$

donde  $a_q$  es una señal de control por definir

- El sistema ahora tiene las dinámicas de  $n$  doble integradores desacoplados
- El resultado del control de dinámica inversa es de utilidad ya que podemos asumir que la “nueva” planta es LTI



# Dinámica Inversa: Espacio Articular

- La señal de  $a_q$  puede provenir de alguna ley de control, posiblemente lineal
- Una forma de escoger esta señal de control es

$$a_q = \ddot{q}^d - K_p \tilde{q} - K_d \dot{\tilde{q}}$$

donde  $\tilde{q} = q - q^d$ ,  $\dot{\tilde{q}} = \dot{q} - \dot{q}^d$  y  $K_p, K_d$  son matrices diagonales

- Note que la señal de referencia debe contener, adicionalmente, las aceleraciones de la señal de referencia, i.e.  $r = [q^d, \dot{q}^d, \ddot{q}^d]$
- El controlador es de tipo PD con la adición del componente de aceleración en el lazo directo

# Dinámica Inversa: Espacio Articular

- Utilizando la definición de  $a_q$ , podemos expresar el sistema en las nuevas coordenadas de error,  $\tilde{q}$ , tal que

$$\ddot{\tilde{q}} + K_d \dot{\tilde{q}} + K_p \tilde{q} = 0$$

- $K_p$ ,  $K_d$  se pueden escoger dependiendo según las consideraciones existentes para sistemas de segundo orden.
- Note que el nuevo sistema en lazo cerrado es una colección de  $n$  sistemas desacoplados de segundo orden

$$\ddot{\tilde{q}}_k + K_{dk} \dot{\tilde{q}}_k + K_{pk} \tilde{q}_k = \ddot{\tilde{q}}_k + 2\zeta_k \dot{\tilde{q}}_k + \omega_{n_k}^2 \tilde{q}_k$$

# Dinámica Inversa: Espacio Articular

- La filosofía detrás del control por par calculado es la de realizar una transformación de entrada de tipo torque, a una entrada de tipo aceleración
- Si asumimos que la entrada al sistema es aceleración, tenemos

$$\ddot{q} = a_q$$

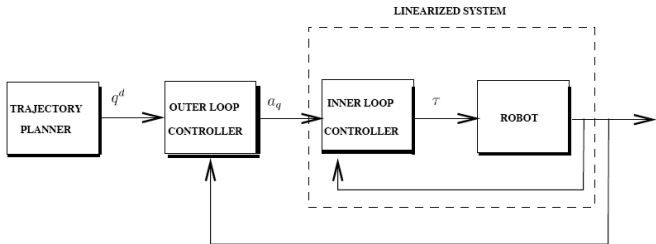
el torque necesario para producir esta aceleración es

$$a_q = M(q) [u - C(q, \dot{q})\dot{q} - g(q)]$$

$$u = M^{-1}(q)a_q + C(q, \dot{q})\dot{q} + g(q)$$

# Dinámica Inversa: Espacio Articular

- La implementación requiere cálculos en tiempo real
- En consecuencia, el equipo de computo debe pensarse para soportar estos cálculos
- La arquitectura de control propuesta contempla un doble lazo de control como se muestra en la figura



# Dinámica Inversa: Espacio de Trabajo

- Asuma que tenemos el vector  $X \in \mathbb{R}^6$  el cual representa la posición y orientación de un sistema según una representación mínima en  $\mathcal{SO}(3)$
- Utilizando el Jacobiano podemos encontrar la siguiente relación

$$\dot{x} = J(q)\dot{q} \Rightarrow \ddot{x} = J(q)\ddot{q} + \dot{J}(q)\dot{q}$$

- Observe que si escogemos  $a_q$  como

$$a_q = J^{-1}(q) \left[ a_x - \dot{J}(q)\dot{q} \right]$$

el sistema resultante en el espacio de trabajo está dado por

$$\ddot{x} = a_x$$

# Dinámica Inversa: Espacio de Trabajo

- Al igual que en el caso del par calculado para el control en el espacio articular, podemos escoger

$$a_x = \ddot{x}^d - K_p(\tilde{x}) - K_d\dot{\tilde{x}}$$

donde  $\tilde{x} = (x - x^d)$ ,  $\dot{\tilde{x}} = (\dot{x} - \dot{x}^d)$

- Las dinámicas del error de seguimiento está dado por

$$\ddot{\tilde{x}} + K_d\dot{\tilde{x}} + K_p\tilde{x} = 0$$

- Ahora podemos especificar trayectorias directamente en el espacio de trabajo sin cambiar el lazo interno de control
- Sin embargo note que ahora debemos calcular el Jacobiano y su derivada para construir la señal de control  $a_q$

# Dinámica Inversa: Espacio de Trabajo

- Si el sistema tiene 6 G.d.L. (i.e. eslabones),  $J(q)$  es una matriz cuadrada y por lo tanto el Jacobiano tiene inversa
- Para sistemas con un número de eslabones  $n \neq 6$ , el Jacobiano ya no es una matriz cuadrada y por lo tanto debemos usar la pseudo-inversa
- Es importante que observar que el control en el espacio de trabajo solo puede ser implementado si el Jacobiano es no singular para todas las configuraciones necesarias.

# Control PD: Analisis Multivariable

- Para el caso de control independiente de eslabones, se asumió que el control SISO tipo PD/PID de cada actuador estabilizaba el sistema no lineal.
- En esta sección se probará que en efecto, el esquema de control desacoplado propuesto anteriormente, estabiliza el sistema acoplado no lineal.
- Inicialmente se asumirá que no hay términos gravitacionales, lo cual implica que el origen es asintóticamente estable, i.e. el error de seguimiento tiende a cero
- Se procederá a incluir los efectos gravitacionales y analizar la estabilidad y desempeño (en este caso  $e_{ss}$ ) del sistema en lazo cerrado



# Control PD: Analisis Multivariable

- Considere un manipulador  $n$ -articulado y la ley de control  $u = K_p \tilde{q} - K_d \dot{q}$
- Para facilitar el analisis de estabilidad, escogeremos una funcion candidata de Lyapunov de la forma

$$V = \frac{1}{2} \dot{q}^T M(q) \dot{q} + \frac{1}{2} \tilde{q}^T K_p \tilde{q}$$

- Es sencillo observar que la funcion propuesta es positiva definida y radialmente desbordada. Resta probar que su deriva con respecto al tiempo es negativa definida

# Control PD: Analisis Multivariable

- Asumiendo  $g(q) = 0$

$$\begin{aligned}\dot{V} &= \ddot{q}^T M(q) \dot{q} + \frac{1}{2} \dot{q}^T \dot{M}(q) \dot{q} - \dot{q} K_p \tilde{q} \\ &= (u - C(q, \dot{q}) \dot{q})^T \dot{q} + \frac{1}{2} \dot{q}^T \dot{M}(q) \dot{q} - \dot{q}^T K_p \tilde{q} \\ &= (-K_d \dot{q} + K_p \tilde{q})^T \dot{q} + \frac{1}{2} \dot{q}^T (\dot{M}(q) - 2C(q, \dot{q})) \dot{q} - \dot{q}^T K_p \tilde{q} \\ &= -\dot{q}^T K_d \dot{q}\end{aligned}$$

- Podemos observar que  $\dot{V} = -\dot{q}^T K_d \dot{q} \leq 0$ , lo que significa que no podemos concluir estabilidad debido a que  $\dot{V} = 0$  para  $\dot{q} = 0$  y  $q \neq 0$

# Control PD: Analisis Multivariable

- Utilizando el Principio de Invarianza de LaSalle, podemos concluir que el conjunto invariante mas grande se da cuando  $\dot{q}^* = 0$  y  $\ddot{q}^* = 0$  tal que

$$\ddot{q}^* = M^{-1}(q^*)[u^* - C(q^*, \dot{q}^*)\dot{q}^*] = 0$$

- De esta ecuacion podemos concluir que

$$u^* = K_p \tilde{q} - K_d \dot{q}^* = 0$$

y por lo tanto  $\tilde{q} = 0$

- En otras palabra, el conjunto invariante mas grande es el origen; el origen es asintoticamente estable

# Control PD: Analisis Multivariable

- Si ahora asumimos que  $g(q) \neq 0$ , realizando un procedimiento parecido al anterior, podemos concluir que el sistema es estable
- El termino gravitacional impone nuevas restricciones sobre el desempe no del sistema donde el error de estado estable no sera nulo

# Control PD: Analisis Multivariable

- Asumiendo que el sistema es estable, sabemos que en estado estable  $\dot{q}_{ss} = 0$  y por lo tanto

$$K_p \tilde{q}_{ss} = g(q_{ss})$$

- Este termino se denomina el torque de retencion, el cual debe contrarrestar los efectos de la gravedad
- Observe que este error se puede reducir con altas ganancias  $K_p$  o introduciendo un integrador en el controlador

# Control Robusto: Ganancia Variable

- Uno de los mayores inconvenientes del control con Dinámica Inversa es que los parámetros no son conocidos exactamente, por ejemplo un manipulador que transporta masas variables
- Si este es el caso, la linealización no es exacta y el sistema presentará error estacionario e incluso inestabilidad en algunos casos
- El control robusto, en general, se encarga de diseñar controladores tal que el desempeño del sistema se garantice aún ante la presencia de incertidumbre paramétrica, de dinámicas no modeladas y de señales

# Control Robusto: Ganancia Variable

- Considere el sistema *nominal* descrito por el siguiente modelo

$$\hat{M}(q)\ddot{q} + \hat{C}(q, \dot{q})\dot{q} + \hat{g}(q) = u$$

- Sin embargo la presencia de incertidumbres hace que el sistema *real* este descrito por

$$M(q)\ddot{q} + C(q, \dot{q})\dot{q} + g(q) = u$$

- El controlador de Dinamica Inversa esta dado por

$$u = \hat{M}(q)a_q + \hat{C}(q, \dot{q})\dot{q} + \hat{g}(q)$$

- Reemplazando obtenemos el siste

$$\ddot{q} = M^{-1}(q) \left[ \hat{M}(q)a_q + (\hat{C}(q, \dot{q}) - C(q, \dot{q}))\dot{q} + (\hat{g}(q) - g(q)) \right]$$

# Control Robusto: Ganancia Variable

- Definiendo  $(\tilde{\cdot}) = (\hat{\cdot}) - (\cdot)$ , podemos reescribir la ecuación anterior como

$$\begin{aligned}\ddot{q} &= M^{-1}(q) \left[ (\tilde{M}(q) + M(q))a_q + \tilde{C}(q, \dot{q})\dot{q} + \tilde{g}(q) \right] \\ &= a_q + M^{-1}(q)(\tilde{M}(q)a_q + \tilde{C}(q, \dot{q})\dot{q} + \tilde{g})\end{aligned}$$

- De esta forma se puede expresar el sistema incierto como

$$\ddot{q} = a_q + \eta(q, \dot{q}, a_q)$$

- Observe que el sistema puede ser interpretado como un sistema lineal (el ya conocido doble integrador) con incertidumbre representado por

$$\eta = Ea_q + M^{-1}(\tilde{C}\dot{q} + \tilde{g}) \quad y \quad E = (M^{-1}\hat{M} - I)$$



# Control Robusto: Ganancia Variable

- El sistema resultante es no lineal (en virtud de la incertidumbre)
- Adicionalmente, el sistema es acoplado por lo que no hay garantía de que un controlador PD/PID estabilice el sistema
- Una de las técnicas más comunes para mejorar el desempeño y la robustez de este tipo de controladores es utilizar ganancias variables
- A continuación expondremos una metodología que permite encontrar esta ganancia variable bajo la suposición de cierta cota en la incertidumbre

# Control Robusto: Ganancia Variable

- Considere una señal de control  $a_q$  de la forma

$$a_q = \ddot{q}^d - K_p \tilde{q} - K_d \dot{\tilde{q}} + \delta_a$$

donde  $\delta_a$  es una señal de control utilizada para lidiar con las incertidumbres

- En términos del error de seguimiento ( $e = [(q - d^q)^T (\dot{q} - \dot{q}^d)^T]^T$ ), el sistema en lazo cerrado es

$$\dot{e} = Ae + B\delta_a + B\eta$$

donde

$$A = \begin{bmatrix} 0 & \mathbf{I} \\ -K_p & -K_d \end{bmatrix} \quad B = \begin{bmatrix} 0 \\ \mathbf{I} \end{bmatrix}$$

# Control Robusto: Ganancia Variable

- La idea detrás del método expuesto es acotar la incertidumbre mediante una función escalar tal que

$$\|\eta\| < \rho(\mathbf{e}, t)$$

- El término  $\delta_a$  es diseñado para contrarrestar los efectos nocivos de la incertidumbre, garantizando estabilidad con acotamiento terminal

# Control Robusto: Ganancia Variable

- Reemplaza  $a_q$  en  $\eta$ , obtenemos

$$\eta = E\delta_a + E \left[ \ddot{q}^d - K_p \tilde{q} - K_p \dot{\tilde{q}} \right] + M^{-1} \left[ \tilde{C}(q, \dot{q})\dot{q} + \tilde{g}(q) \right]$$

- Observe que

$$\|E\| = \left\| M^{-1} \hat{M} - \mathbf{I} \right\| \leq 1$$

- Asumiendo que  $\underline{M} < \|M^{-1}\| < \overline{M}$  y tomando  $\hat{M}$  como el promedio (i.e.  $1/2(\underline{M} + \overline{M})$ ),

$$\left\| M^{-1} \hat{M} - \mathbf{I} \right\|^2 \leq \frac{\overline{M} - \underline{M}}{\overline{M} + \underline{M}} < 1$$

# Control Robusto: Ganancia Variable

- De forma general, podemos asumir que existe una cota para  $\eta$  de la forma

$$\|\eta\| \leq \alpha \|\delta_a\| + \gamma_1 \|\mathbf{e}\| + \gamma_2 \|\mathbf{e}\|^2 + \gamma_3$$

donde  $\alpha = \|E\|$  y las constantes  $\gamma_1$ ,  $\gamma_2$ , y  $\gamma_3$  son no negativas

- Suponiendo que  $\|\delta_a\| \leq \rho(\mathbf{e}, t)$  (esto lo debemos corroborar después) tenemos

$$\|\eta\| \leq \alpha \rho(\mathbf{e}, t) + \gamma_1 \|\mathbf{e}\| + \gamma_2 \|\mathbf{e}\|^2 + \gamma_3 := \rho(\mathbf{e}, t)$$

# Control Robusto: Ganancia Variable

- Despejando  $\rho(e, t)$  y observando que  $\alpha = \|E\| < 1$ , tenemos

$$\rho(e, t) = \frac{1}{1 - \alpha} \left[ \gamma_1 \|e\| + \gamma_2 \|e\|^2 + \gamma^3 \right]$$

- Ahora define  $\delta_a$  como

$$\delta_a = \begin{cases} -\rho \frac{B^T P e}{\|B^T P e\|} & \|B^T P e\| \neq 0 \\ 0 & \|B^T P e\| = 0 \end{cases}$$

- Nos resta probar estabilidad del sistema

# Control Robusto: Ganancia Variable

- Escoja un candidato de ecuación de Lyapunov de la forma

$$V = e^T P e \geq 0$$

donde su derivada esta dado por

$$\dot{V} = \dot{e}^T P e + e^T P \dot{e} = e^T (A^T P + P A) e + 2e^T P B(\delta_a + \eta)$$

- Asumiendo que  $A \in \mathbb{R}H^\infty$ , sabemos que existe una matrix  $Q \geq 0$  tal que

$$A^T P + P A = -Q$$

- Por tal motivo debemos preocuparnos por el término  $2e^T P B(\delta_a + \eta)$

# Control Robusto: Ganancia Variable

- Definiendo  $\omega = B^T P e$  podemos reescribir el término de interés como

$$2e^T P B(\delta_a + \eta) = \omega^T \left( -\rho \frac{\omega}{\|\omega\|} + \eta \right)$$

- Se puede observar que existen dos casos
  - $\omega = 0$ : Para este caso, este término se desvanece y tenemos

$$\dot{V} \leq -e^T Q e \leq 0$$

- $\omega \neq 0$ : Utilizando la desigualdad de Cauchy-Schwartz y notando que  $\|\eta\| \leq \rho(e, t)$ , tenemos que

$$\omega^T \left( -\rho \frac{\omega}{\|\omega\|} + \eta \right) \leq -\rho \|\omega\| + \|\eta\| \|\omega\| \leq 0$$

y por lo tanto

$$\dot{V} \leq -e^T Q e \leq$$



# Control Robusto: Ganancia Variable

- Otra forma de obtener una descripción para  $\delta_a$  es expandiendo la función de  $V(e)$  donde

$$\begin{aligned}\dot{V} &= e^T (A^T P + PA) e + 2e^T PB \delta_a + 2e^T PB \eta \\ &< e^T (A^T P + PA) e + 2e^T PB \delta_a + 2 \left\| B^T P e \right\| \|\eta\| \\ &< e^T (A^T P + PA) e + 2e^T PB \delta_a + 2\rho \left\| B^T P e \right\|\end{aligned}$$

- Observe que, para el caso donde  $B^T P e \neq 0$ , si escogemos

$$\delta_a = -\rho \frac{B^T P e}{\left\| B^T P e \right\|}$$

se garantiza que

$$\dot{V} \leq e^T Q e$$

# Control Robusto: Ganancia Variable

- Observen que la señal de control no está definida en el subespacio

$$\mathcal{E} = \left\{ \mathbf{e} \in \mathbb{R}^n; \mathbf{B}^T \mathbf{P} \mathbf{e} = 0 \right\}$$

- Una de las mayores desventajas de usar señales de control discontinuas es el efecto de “chattering” o sobreactuación
- Una forma de darle solución a este problema es definir soluciones de forma general o soluciones de Filippov
- Defina la señal de control adicional

$$\delta_a = \begin{cases} -\rho \frac{\mathbf{B}^T \mathbf{P} \mathbf{e}}{\|\mathbf{B}^T \mathbf{P} \mathbf{e}\|} & \|\mathbf{B}^T \mathbf{P} \mathbf{e}\| > \epsilon \\ -\frac{\rho}{\epsilon} \mathbf{B}^T \mathbf{P} \mathbf{e} & \|\mathbf{B}^T \mathbf{P} \mathbf{e}\| \leq \epsilon \end{cases}$$

# Control Robusto: Ganancia Variable

- La señal de control ahora es continua, evitando problemas de sobreactuación
- Sin embargo, para el análisis de estabilidad debemos considerar tres casos:  $\|B^T P e\| = 0$ ,  $\|B^T P e\| > \epsilon$  y  $\|B^T P e\| \leq \epsilon$
- El análisis de los dos primeros casos es idéntico al expuesto anterior
- Nos resta probar estabilidad en la tercera región  $\|B^T P e\| \leq \epsilon$

# Control Robusto: Ganancia Variable

- Consideren nuevamente la función candidata de Lyapunov  $V = e^T P e$ , y su derivada

$$\begin{aligned}\dot{V} &= e^T (A^T P + P A) e + 2e^T P B (\delta_a + \eta) \\ &\leq e^T (A^T P + P A) e + 2e^T P B (\delta_a + \rho \frac{B^T P e}{\|B^T P e\|})\end{aligned}$$

- Para  $\|B^T P e\| \leq \epsilon$ , tenemos que  $\delta_a = -\frac{\rho}{\epsilon} B^T P e$  y

$$2e^T P B (\delta_a + \rho \frac{B^T P e}{\|B^T P e\|}) = -2\frac{\rho}{\epsilon} \|B^T P e\|^2 + 2\rho \|B^T P e\|$$

# Control Robusto: Ganancia Variable

- Esta expresión tiene un máximo (con respecto a  $\|B^T P e\|$ ) en  $\|B^T P e\| = \frac{\epsilon}{2}$ , tal que

$$\dot{V} < e^T (A^T P + P A) e + \rho \frac{\epsilon}{2}$$

- Podemos concluir que para lograr que  $\dot{V} < 0$

$$e^T Q e > \epsilon \frac{\rho}{2}$$

- Observando que

$$\underline{\lambda}(Q) \|e\|^2 \leq e^T Q e \leq \bar{\lambda}(Q) \|e\|^2$$

obtenemos

$$\|e\| > \left( \frac{\epsilon \rho}{2 \underline{\lambda}(Q)} \right)^{1/2} := \delta$$

# Control Robusto: Ganancia Variable

- Noten que el error de estado estable está limitado por  $\delta$ , la cual es función de  $\epsilon$  y  $\rho$
- Considere que  $S_\delta$  es el conjunto de nivel (level set) más pequeño dentro del cual esta contenida una bola  $B(\delta)$
- Podemos concluir que el sistema en lazo cerrado es terminalmente acotado con respecto a  $B(\delta)$  FIGURA !!!

# Control Robusto: Modo Deslizante (SMC)

- El control deslizante es una técnica de control no lineal, y no requiere de linealización del sistema
- La mayor ventaja de esta técnica de control es su insensibilidad a incertidumbres
- La principal desventaja es que depende de la función  $\text{sgn}(\cdot)$ , la cual es discontinua alrededor de cero

# Control Robusto: Modo Deslizante (SMC)

- Considere el sistema no lineal de segundo orden descrito por

$$\dot{x}_1 = x_2 \quad \dot{x}_2 = h(x) + f(x)u$$

- Ahora asuma que existe una superficie tal que  $S(x) = 0$  tal que si  $x \in S(x)$ ,  $x$  se deslizará al punto de equilibrio
- Considere la superficie

$$S = ax_1 + x_2$$

y observe que si  $x \in \mathbb{R}$

$$x_2 = ax_1 \quad \dot{x}_1 = -ax_1$$

- Si se alcanza la superficie  $S = 0$ , el sistema es estable sin importar  $h(x)$  y  $f(x)$



# Control Robusto: Modo Deslizante (SMC)

- Observe que la variable  $S$  cumple la relación

$$\dot{S} = a\dot{x}_1 + \dot{x}_2 = ax_2 + h(x) + f(x)u$$

- Tomando una función candidata de Lyapunov de la forma  $V(x) = \frac{1}{2}S^T S$  tenemos

$$\dot{V} = S\dot{S} = S(ax_2 + h(x) + f(x)u)$$

# Control Robusto: Modo Deslizante (SMC)

- Si asumimos que existe un  $\rho(x)$  tal que

$$\left| \frac{ax_2 + h(x)}{f(x)} \right| \leq \rho(x)$$

obtenemos

$$\begin{aligned}\dot{V} &= S(ax_2 + h(x)) + Sf(x)u \\ &\leq \rho(x)f(x)|S| + Sf(x)u\end{aligned}$$

# Control Robusto: Modo Deslizante (SMC)

- Tomando la señal de control como  $u = \beta(x) \operatorname{sgn}(S)$  donde

$$\operatorname{sgn}(S) = \begin{cases} 1 & s > 0 \\ 0 & s = 0 \\ -1 & s < 0 \end{cases}$$

obtenemos

$$\dot{V} \leq \rho(x)f(x)|S| - f(x)(\rho(x) + \beta_0)S \operatorname{sgn}(S)$$

- Suponiendo que  $\beta(x) \leq \beta_0 + \rho(x)$  y que  $f(x) = f_0 + \hat{f}(x)$  donde  $f_0 > 0$

$$\dot{V} \leq -f_0\beta_0|S|$$

por lo que el sistema es estable

# Control Robusto: Modo Deslizante (SMC)

- El problema radica ahora en encontrar una ley de control tal que el sistema alcance (en tiempo finito) la superficie  $S = 0$  y se mantenga en ella
- Para esto asuma que  $W = \sqrt{V} = \|S\|$ , tal que satisface la desigualdad

$$D^+ W \leq -f_0 \beta_0$$

- Por el lema de la comparación podemos concluir que  $S = 0$  para algún tiempo  $T$ , i.e.

$$\begin{aligned} W(S(t)) &\leq W(S(0)) - f_0 \beta_0 t \\ \|S(t)\| &\leq \|S(0)\| - f_0 \beta_0 t \end{aligned}$$

# Control Robusto: Modo Deslizante (SMC)

- Por lo tanto el sistema de control consta de dos fases
  - 1 Fase de alcance: Fase durante la cual el sistema trata de lograr  $S = 0$
  - 2 Fase de deslizamiento: durante la cual las dinámicas del sistema están confinadas a la superficie  $S = 0$
- Observe que para el control SMC, no necesitamos conocer las dinámicas exactas de sistemas
- Únicamente debemos conocer  $\rho(x)$  ya que durante el deslizamiento las dinámicas son independientes de  $h(x)$  y  $f(x)$

# Control Robusto: Modo Deslizante (SMC)

- Ejemplo: Considere un péndulo rígido donde su dinámica está dada por

$$\dot{x}_1 = x_2$$

$$\dot{x}_2 = -gl\sin(x_1 + \delta_1) - \frac{b}{m}x_2 + \frac{1}{ml^2}u$$

y deseamos estabilizar el péndulo alrededor de  $\delta_1 = \pi/2$ , donde  $x_1 = \theta - \delta_1$  y  $x_2 = \dot{\theta}$

- Los coeficientes constantes  $g$ ,  $l$ ,  $b$ ,  $m$  son la gravedad, la longitud del péndulo, el coeficiente de fricción viscosa y la masa del péndulo respectivamente

# Control Robusto: Modo Deslizante (SMC)

- Asumiendo que  $|x_1| \leq \pi$ ,  $|x_2 + x_1| \leq \pi$ ,  $m \in [0,05 \ 0,5]$ ,  $l \in [1 \ 1,5]$ ,  $b \in [0 \ 0,1]$  podemos obtener una cota superior de la forma

$$\left| \frac{ax_2 + h(x)}{f(x)} \right| = |l^2(m - k)x_2 - mgl\cos(x_1)| \\ \leq l^2 |mk| (2\pi) + mgl \leq 3,68$$

- Podemos escoger  $a = 1$  y  $k_c = 4$  para así obtener una señal de control de la forma

$$u = -k_c \operatorname{sgn}(x_2 + x_1)$$

# Control Robusto: Modo Deslizante (SMC)

- Las gráficas muestran el controlador SM ideal FIGURAS  
!!!!



# Control Robusto: Modo Deslizante (SMC)

- Al incluir un retardo de actuación por medio de incertidumbre de actuadores no modelados (i.e.  $\frac{1}{(0.05s+1)^2}$ ), podemos observar el fenómeno de sobreactuación

FIGURA

# Control Robusto: Modo Deslizante (SMC)

- La sobreactuación puede reducirse mediante dos técnicas:
  - 1 Utilizar una parte continua en el control, tal que  $u = u_c + v$
  - 2 Utilizar la función  $\text{sat}(\cdot)$  en lugar de la función discontinua  $\text{sgn}(\cdot)$
- Únicamente presentaremos el primer método, si escogemos

$$u = \left| \frac{ax_2 + \hat{h}(x)}{\hat{f}(x)} \right| + v$$

donde  $\hat{h}$  y  $\hat{f}$  son los valores nominales del sistema;  $h(x)$  y  $f(x)$  son los valores reales

# Control Robusto: Modo Deslizante (SMC)

- Suponga que  $\left| \frac{\delta}{h(x)} \right| < \rho(x)$ , donde  $\delta$  es una cota definida sobre la incertidumbre
- La señal  $\nu$  representa la parte discontinua de tal manera que  $\nu = -\beta(x) \operatorname{sgn}(S)$
- Debido a que  $\rho(x)$  es una cota superior de las perturbaciones de parámetros, esta será por lo general menor a la cota superior de todo el sistema, por lo cual la ganancia  $\beta(x)$  será menor que en el caso estándar

# Control Robusto: Modo Deslizante (SMC)

- FIGURASS DE ESTOOOOO

# Control Robusto: Control Adaptativo

- Los métodos de control adaptativo se basan en la propiedad de linealidad de los parámetros
- Aunque hoy en día existen varios métodos de diseño, los primeros resultados se basan en la linealización por dinámica inversa
- A diferencia de otras técnicas de control robusto donde se asume que los parámetros nominales son fijos, el control adaptativo estima estos parámetros según una ley de adaptación

# Control Robusto: Control Adaptativo

- Considere el sistema incierto descrito anteriormente, y un esquema de control por dinámica inversa donde

$$a_q = \ddot{q}^d - K_p \tilde{q} - K_d \dot{\tilde{q}}$$

- Utilizando la propiedad de linealidad de parámetros, se puede probar que

$$\ddot{\tilde{q}} + K_p \tilde{q} + K_d \dot{\tilde{q}} = \hat{M}^{-1} Y(q, \dot{q}, \ddot{q}) \tilde{\theta}$$

donde  $Y(q, \dot{q}, \ddot{q})$  es el regresor, y  $\tilde{\theta} = \hat{\theta} - \theta$  donde  $\hat{\theta}$  es la estimación del vector de parámetros

# Control Robusto: Control Adaptativo

- Representando el sistema en variables de estado

$$\dot{e} = Ae + B\Phi\tilde{\theta}$$

donde

$$A = \begin{bmatrix} 0 & \mathbf{I} \\ -K_p & -K_d \end{bmatrix} \quad B = \begin{bmatrix} 0 \\ \mathbf{I} \end{bmatrix} \quad \Phi = \hat{M}^{-1}Y(q, \dot{q}, \ddot{q})$$

- Igual que antes, asumimos que la matrix  $A$  es Hurwitz y por lo tanto

$$A^T P + PA = -Q$$

# Control Robusto: Control Adaptativo

- La ley de adaptación esta dada por

$$\dot{\hat{\theta}} = -\Gamma^{-1} \Phi^T B^T P e$$

donde  $\Gamma$  es una matriz definida positiva

- La estabilidad del sistema se garantiza mediante la convergencia global a cero del error y acotamiento del error de estimación
- Escoja una función candidata de Lyapunov de la forma

$$V = e^T P e + \tilde{\theta}^T \Gamma \tilde{\theta}$$

- Para probar estabilidad debemos probar que la derivada de  $V$  con respecto al tiempo es negativa definida



# Control Robusto: Control Adaptativo

- Después de algunas reducciones algebraicas, y asumiendo que  $\theta$  es constante

$$\begin{aligned}\dot{V} &= \dot{e}^T P e + e^T P \dot{e} + \dot{\tilde{\theta}}^T \Gamma \tilde{\theta} + \tilde{\theta}^T \Gamma \dot{\tilde{\theta}} \\ &= -e^T Q e + 2\tilde{\theta}^T (\Phi^T B^T P e + \Gamma \dot{\tilde{\theta}})\end{aligned}$$

- Es fácil observar que con la ley de adaptación propuesta

$$\dot{V} = -e^T Q e \leq 0$$

- Sin embargo, al no contener términos negativos en  $\dot{\tilde{\theta}}$ , solo podemos concluir estabilidad con los siguientes inconvenientes
  - Falta de robustez a perturbaciones externas
  - Falta de convergencia en la estimación de parámetros.

# Control Robusto: Control Adaptativo

- Mediante análisis mas detallado, podemos concluir estabilidad asintotica del error de seguimiento y acotamiento del error de estimacion
- Note que  $\dot{V} \leq 0 \rightarrow V(t) \leq V(0)$
- Adicionalmente sabemos que  $V$  es una funcion que suma una serie de termino nonegativos conteniendo  $\tilde{q}$  y  $\tilde{\theta}$
- Podemos concluir que si  $V$  es acotada,  $\tilde{q}$  y  $\tilde{\theta}$  son acotadas

# Control Robusto: Control Adaptativo

- Note que si asumimos que  $V(0)$  es acotada, e integrando a ambos lados de  $\dot{V} \leq -e^T Q e$

$$V(t) - V(0) = - \int_0^t e^T(\sigma) Q e(\sigma) d\sigma < \infty$$

- De esta forma el error del sistema es una función cuadrática integrable.
- De esta forma, si la velocidad del error es acotada, entonces el error converge a cero (Lema de Barbalat)

- 1 Introduccion
- 2 Control Independiente de Eslabones
- 3 Control Multivariable y Dinámica Inversa
- 4 Ejemplo**

# Control Robusto: Control Adaptativo

